

双反射技术对自由射流三维速度场的测量及显示¹⁾

索 璞 贺正辉 申功忻 * 张宏民

(太原工业大学应用数理力学系, 太原 030024)

*(北京航空航天大学, 北京 100083)

摘要 应用摄影测量和图像处理技术对自由射流的三维速度场进行了 PIV 测量, 构造了一种全新的双反射测量技术, 使得三维测量中的多点同步和空间定位得到解决和提高。在精确计算了水与空气的折射关系之后, 两幅像片间的同名点寻找更加可靠, 重建和再现了 PIV 中射流的连续三维瞬态粒子分布场和速度矢量场。

关键词 自由射流, 粒子图像测速法, 粒子迹线测速法, 双介质摄影测量

引 言

自由射流的研究所涉及的应用范围相当广泛, 但实际中射流均以湍流形式出现。湍流的最大特点即是其流动的三维性。因此理想地研究与测试射流的实验应该是基于能获得一个三维的、高分辨的、连续的瞬态流速场。

70 年代以前, 流体测试技术以热线测速和激光多普勒测速技术最为广泛使用, 但是这两项技术都只限于单点测式。80 年代以来, 发展了整个流场的瞬态测量技术。其中粒子迹线测速法 PTV(particle-tracking velocimetry) 和粒子图像测速法 PIV (particle-imaging velocimetry) 发展最为迅速和突出。但是, 目前 PTV 和 PIV 最成熟的部分仍然只限于二维平面测量。Chang(1984, 1985a, 1986b)^[1], Koichi Nishino, Nobuhide Kasagi(1989)^[2] 等先后对三维测试和消除水的折射问题作过研究, 完整的三维空间测试正经历着测试方法和技术的改善。

三维 PIV 技术, 至少要使用两幅不同角度的同一流场的照片。这就存在一个两幅照片必须取自同一时刻的问题, 即所谓同步问题; 其次精确知道两照片的空间位置是测量的前提; 最后计及有双介质情况下的折射是求得粒子空间位置的关键。本文设计了双反射法巧妙地解决了这些问题。

1 实验系统

图 1 给出实验系统全貌。摄影机从水箱后下方通过镜子取得了喷射流的反射图像。调整两镜子和摄影机的角度, 可在一底片上形成左右两幅同一喷射流的对称图像。这相当于用一部摄影机代替了不同视角的两部摄影机来拍摄。两镜子可在一定范围内任意放置以取得最佳摄影位置, 同步问题也不再存在。

¹⁾ 山西省自然科学基金资助项目。

1993-09-17 收到第一稿, 1994-03-21 收到修改稿。

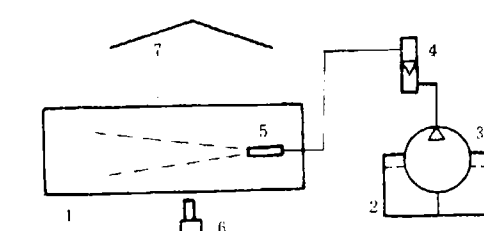
16mm 高速摄影机拍摄速度范围：
100—8500fps; 配有可变焦镜头. 本实验设定速度 200fps.

两镜面经过仔细筛选, 镜面起伏误差小于 $0.005\text{mm}/100\text{mm}$.

喷嘴直径 5mm, 粒子采用白色尼龙小球, 直径 0.3mm 左右, 比重 1.04, 在水中具有较好的反光性和跟随性. 本实验中喷嘴流速 1.8m/s , Re 约为 8900.

要求得粒子的空间坐标, 首先要知道像片在绝对坐标系中的坐标, 为此, 我们

设计一模块放在水箱中, 模块上用坐标镗床均匀雕刻了 110 圆点, 这些点的空间坐标是精确已知的, 将模块放在水箱中要测量的地方. 运用摄影测量方程, 便可从模块上点的像片坐标反算出摄影机各方位参数.



1. 主水箱, 2. 小水箱, 3. 水泵,
4. 流量计, 5. 喷嘴, 6. 摄影机, 7. 镜面

图 1 实验系统全貌

1. water tank, 2. small tank, 3. pump,

4. flowmeter, 5. jet nozzle, 6. camera, 7. mirrors

Fig.1 The view of the experimental system

2 计算基础

1) 双反射原理 图 2 所示即是双反射三维摄影测量原理图. 图中 F_0 为摄影机物镜中心也是摄影测量的投影中心, F_1, F_2 为在镜中形成的两个虚像投影中心, M_1 为镜面 1, M_2 为镜面 2. 由物体上点 P_1 和 P_2 发出的光线经两镜面反射后进入摄影机, 在同一张底片上形成了两个对称物像 p'_1, p'_2 和 p''_1, p''_2 . 这两个物像就好象是从投影中心在 F_1 和 F_2 的两架摄影机从两个不同角度拍摄得到的一样.

图中 X, Y, Z 是建于物方空间的绝对坐标系; $U', V', W', U'', V'', W''$ 是建于投影中心 F_1 和 F_2 上的摄影座标系; x', y' 和 x'', y'' 是基于 F_1 和 F_2 的像片座标系.

根据投影几何原量, 可以分别建立基于投影中心 F_1 和 F_2 的摄影测量方程^[3]. 该方程用来作摄影机定位. 定位在没有水的情况下进行.

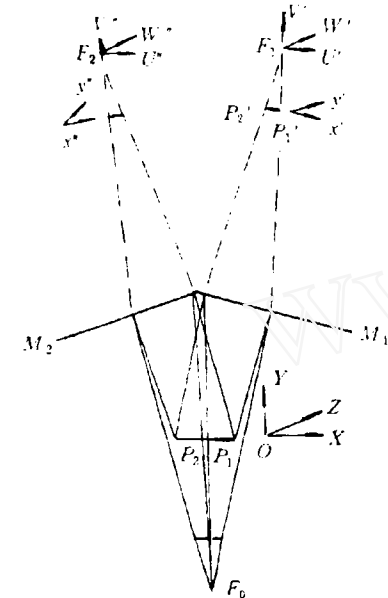


图 2 双反射摄影测量原理图

Fig.2 The principle of two reflection photogrammetry

2) 双介质摄影测量公式 图 3 即双介质投影原理图.

图中 M 是折射面, P 点发出的光线在 A 点穿过折射面, 到达投影中心 F_1 . \mathbf{a} 是折射面在 A 点的单位法向矢量. $O-XYZ$ 即物方绝对空间座标系, \mathbf{X} 是 P 点的座标矢量, \mathbf{A} 是折射点 A 的座标矢量, \mathbf{S} 是投影中心 F_1 的座标矢量, \mathbf{P} 是物点

P 与 A 间的矢量, \mathbf{B} 是投影中心 F_1 与 A 间的矢量.

设 $\mathbf{p} = (p_1, p_2, p_3)$ 是 \mathbf{P} 的单位矢量, 则有

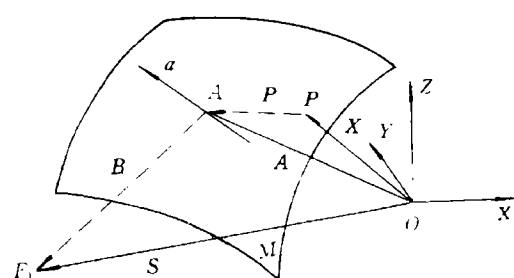


图 3 双介质投影图

Fig.3 Projection of two-media

$$p_1^2 + p_2^2 + p_3^2 = 1 \quad (1)$$

由折射定理中的共面条件可得

$$(\mathbf{a} \times \mathbf{b}) \cdot \mathbf{p} = 0$$

即

$$\begin{vmatrix} p_1 & p_2 & p_3 \\ a_1 & a_2 & a_3 \\ b_1 & b_2 & b_3 \end{vmatrix} = 0 \quad (2)$$

又由折射第二定理

$$n = \frac{\sin \alpha}{\sin i} = \frac{|\mathbf{a} \times \mathbf{B}| \cdot |\mathbf{p}|}{|\mathbf{a} \times \mathbf{p}| \cdot |\mathbf{B}|} = \frac{|\mathbf{a} \times \mathbf{b}|}{|\mathbf{a} \times \mathbf{p}|}$$

可得

$$\begin{aligned} & (a_2 b_3 - a_3 b_2)^2 + (a_3 b_1 - a_1 b_3)^2 + (a_1 b_2 - a_2 b_1)^2 \\ & = n^2 [(a_2 p_3 - a_3 p_2)^2 + (a_3 p_1 - a_1 p_3)^2 + (a_1 p_2 - a_2 p_1)^2] \end{aligned} \quad (3)$$

式中: n : 折射率; 20°C 时水的折射率为 1.33, α : \mathbf{p} 与 \mathbf{a} 的夹角, i : \mathbf{B} 与 \mathbf{a} 的夹角.

联立以上 (1), (2), (3) 三个方程可解出 p_1, p_2, p_3 .

对应两个投影中心 F_1 和 F_2 可得两个 \mathbf{p} , 记为 \mathbf{p}_1 和 \mathbf{p}_2 . 即: $\mathbf{P}_1 = \lambda_1 \mathbf{p}_1$, $\mathbf{P}_2 = \lambda_2 \mathbf{p}_2$. 因为 \mathbf{X} 是唯一的. 当折射面可用解析式表达, 例如本实验是简单平面时, 可以方便地求出 \mathbf{B} 射线与折射面交点, 即两个矢量 \mathbf{A}_1 和 \mathbf{A}_2 .

显然

$$\mathbf{X} = \mathbf{A}_1 - \lambda_1 \mathbf{p}_1, \quad \text{和} \quad \mathbf{X} = \mathbf{A}_2 - \lambda_2 \mathbf{p}_2 \quad (4)$$

式中系数 λ_1, λ_2 可由共面条件

$$0 = (\mathbf{A}_1 \times \lambda_1 \mathbf{p}_1) \cdot \mathbf{X} = (\mathbf{A}_1 \times \lambda_1 \mathbf{p}_1) \cdot (\mathbf{A}_2 - \lambda_2 \mathbf{p}_2)$$

给出.

3 图像处理

图像处理在配有图像板和扫描仪的微机内进行. 摄影机拍到的底片被放大 8 倍后投影在扫描仪上, 形成两幅 512*512*8 的数字图像进入微机内. 先分别作两幅图像的预处理: 确定每个粒子像点的质心座标. 其次, 最重要的也是最困难的是寻找两幅图像上的同名点. 此过程由一相关程序来完成. 有了同名点, 可从公式 (3) 算

得这一点的绝对空间座标。最后，连续两幅三维点状分布图间相关，以合成一幅空间速度矢量图。

4 结果与结论

本实验中，观测空间为 220*180*100mm。经预处理后每一幅图像上平均有 2*120 个粒子像点，两幅图像点作相关处理后大约只有 80 对同名点被找到。

图 4 是 连续两幅点图像得到的一幅速度矢量场分布图。

使用高速摄影机和双反射法，是研究、测试、显示三维实时喷射流场的有效手段。这一方法将可能为揭示湍流场的空间拟序结构作出新贡献。

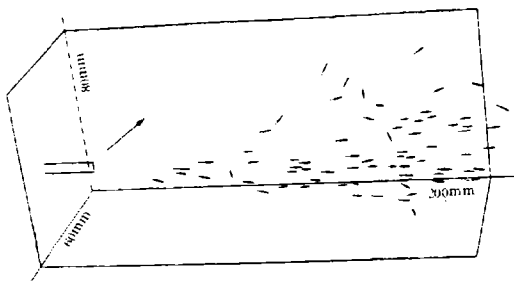


图 4
Fig. 4

参 考 文 献

- 1 Chang TP, Wilcox NA, Tatterson GB. Application of image processing to the analysis of three-dimensional flow fields. *Opt. Eng.*, 1984, 23: 283-287
- 2 Nishino K, Kasagi N, Hirats M. Three-dimensional particle tracking velocimetry based on automated digital image processing. *J Fluid Eng.*, 1989, 111: 384-391
- 3 王之卓. 摄影测量原理, 北京: 测绘出版社, 1979

THREE-DIMENSIONAL MEASURING AND VISUALIZATION OF A FREE JET BY MEANS OF TWO-RELECTION

Suo Jing He Zhenghui Sheng Gongxin* Zhang Hongming

(Taiyuan University of Technology, Taiyuan 030024, China)

*(Beijing University of Aeronautics and Astronautics, Beijing 100083, China)

Abstract Three-dimensional PIV of a free jet is given by means of the photogrammetry and image processing. In this paper, a new double-reflection method is being used to solve the problems of synchronism and precision in the three-dimensional measuring of a high speed jet. The indices of refraction in water and air are considered, so the calculation of particle's 3-D position is correct. A succession of 3-D, global, instantaneous fields of particles and their velocity vectors have been reconstructed by means of microcomputer.

Key words free-jet, PIV, PTV, two-media photogrammetry